

図 3.1-33 遮蔽層・貯留層境界付近でのCO₂飽和率と溶解CO₂濃度の時間変化
 (遮蔽性能(低)ケース) (上: CO₂飽和率 下: 溶解CO₂濃度)
 (上位から遮蔽層A、遮蔽層B、貯留層Cの順)

③ CO_2 の貯留形態ごとの割合

貯留 CO_2 の3つの貯留形態をMovable、DissolvedおよびTrappedで表現し、各ケースにおける割合について、その経時変化を図3.1-34～図3.1-36に示す。

いずれのケースにおいても圧入終了後すぐにMovable CO_2 量は減少し、約50年でその割合は9～10%程度となり、さらに減少を続けていく。また、Trapped CO_2 とDissolved CO_2 の割合はゆっくりと変化していく。その割合については、圧入開始後1,000年後においては、ベースケースではDissolved CO_2 量は約44%、Trapped CO_2 は約55%、低浸透率ケースではDissolved CO_2 は48%、Trapped CO_2 は49%、高浸透率ケースではDissolved CO_2 は45%、Trapped CO_2 は54%という割合になった。この差については、圧入終了までの CO_2 の拡がり方による地層水との接触面積の違い、 CO_2 が溶解し密度が大きくなったり地層水の貯留層内での移動のしやすさ、貯留層内の圧力状態が原因であると考えられる。

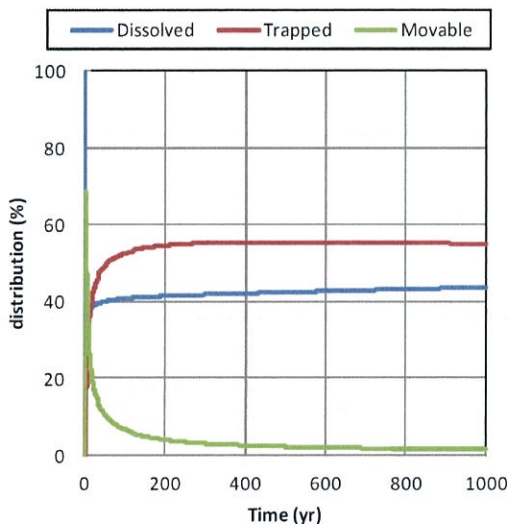


図3.1-34 CO_2 の貯留フォーム（割合）の変化（ベースケース）

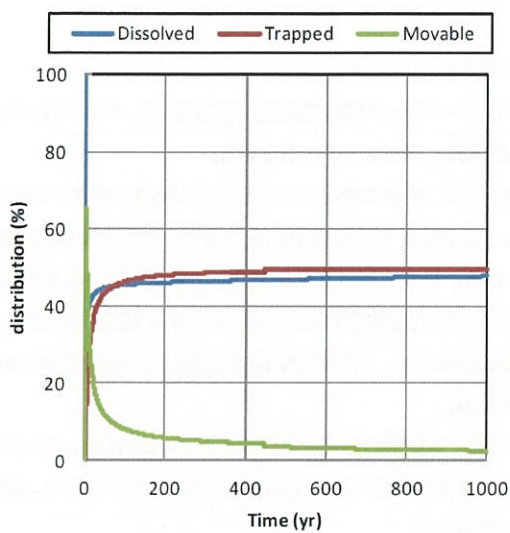


図 3.1-35 CO₂の貯留フォーム（割合）の変化（低浸透率ケース）

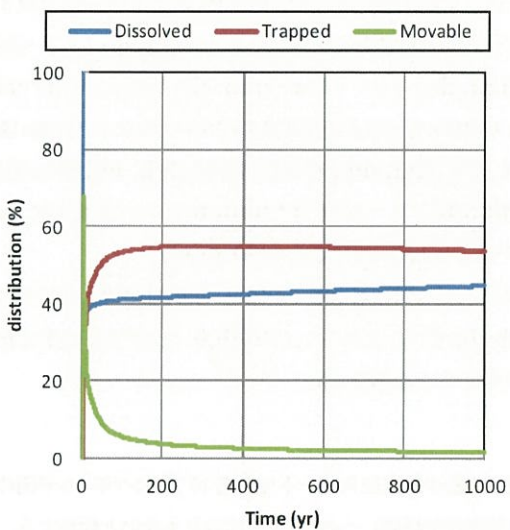


図 3.1-36 CO₂の貯留フォーム（割合）の変化（高浸透率ケース）

(6) 総合評価

① 萌別層評価のまとめ

萌別層砂岩層について行った貯留層評価、遮蔽層評価、CO₂挙動予測シミュレーションの結果を以下の記述および表3.1-5にまとめる。

- 1) 萌別層砂岩層は、沖合に前進しながら陸棚に堆積したファンデルタからなり、砂岩を主体とし、砂礫岩、シルト岩を伴う。緩やかな西傾斜で安定的に堆積し、層厚は約100mである。砂礫岩相は北東部を中心に発達していると解釈される。
- 2) 萌別層泥岩層は、下位の萌別層砂岩層の上位に安定して堆積し、層厚約200mのシルト岩～泥岩からなる。貯留対象領域を覆う領域で十分な厚さがあり良好な遮蔽性能が期待される。
- 3) 貯留層の性能、遮蔽層の性能を評価するため、25万トン/年×3年間のCO₂を圧入し、圧入終了後997年間（圧入開始から1,000年間）のCO₂挙動を予測するシミュレーション実施した。
- 4) シミュレーションの結果をまとめると、以下の通りである。
 - ・7つのケース中6ケースで25万トン/年×3年間（累計圧入量：75万トン）の圧入は可能であった。層内の浸透率を9mDとした低浸透率ケースでは3年間で累計圧入量が45.2万トン（平均15万トン/年）であった。浸透率が高い場合においても萌別層における最少想定圧入レートの10万トン/年の圧入が可能であることを確認した。
 - ・気相CO₂の拡がりは圧入井近傍において水平方向に東西400m程度、南北600m程度まであり、溶解CO₂の拡がりは東西400m程度、南北600m程度までであった。
 - ・遮蔽層（萌別層泥岩層）へは遮蔽層の下限のセルには溶解CO₂の状態でCO₂は存在するが、それより上位へは移動していなかった。
 - ・圧入終了時における貯留層上限での圧力（12.1MPa）が、圧入終了時における遮蔽層下限の圧力（10.9MPa）にスレショルド圧力（1.65MPa）を加えた圧力（12.55MPa）を超えていないことを確認した。

② 総合評価

萌別層砂岩層への最少想定圧入レートである10万トン/年×3年間のCO₂圧入は可能であり、遮蔽層（萌別層泥岩層）へのCO₂の拡がりもないと評価する。

表 3.1-5 崩別層砂岩層貯留層総合評価のまとめ

項目	
構造	●緩やかな北西傾斜(1~3°)の単斜構造
対象深度・層厚	●垂直深度:約1,100~1,200m ●層厚:約100m
岩相	●砂岩主体(礫質砂岩、シルト岩を伴うファンデルタ堆積物)
貯留層	<ul style="list-style-type: none"> ●孔隙率:25~40%(苦小牧CCS-2コア試験、封圧下)、孔隙率:20~40%(物理検層解析結果) ●浸透率:9~25mD(苦小牧CCS-1圧入テスト解析結果) ●浸透率:1~1,000mD(苦小牧CCS-2コア試験、封圧下、空気) ●浸透率:1~120mD(物理検層解析結果)
物性	<ul style="list-style-type: none"> ●【苦小牧CCS-1圧入テスト】最大1,200kPa/日(掘削深度1,077~1,217mのうち57.5m) ●【シミュレーション】25万t/年×3年間圧入可能(低浸透率ケースを除く)
圧入・貯留性能	<ul style="list-style-type: none"> ●シルト岩～泥岩(崩別層上部)
岩相	<ul style="list-style-type: none"> ●層厚:約200m
遮蔽層	<ul style="list-style-type: none"> ●孔隙率:32.4~37.2%(苦小牧CCS-2コア試験:封圧下) ●浸透率:0.80×10⁻³~1.73×10⁻³mD(苦小牧CCS-2コア試験:水浸透率) ●リーコンフ压カ:14.6MPa(等価泥水比重:1.50)(崩別層泥岩層(苦小牧CCS-2)991m) ●スレショルド压カ:0.75, 1.65, 1.67MPa(苦小牧CCS-2コア試験:CO₂-水系)
遮蔽性能	<ul style="list-style-type: none"> ●【シミュレーション】圧入終了時ににおける貯留層上限での圧力(12.1MPa)が、圧入終了時ににおける遮蔽層下限の圧力(10.9MPa)にスレショルド压カ(1.65MPa)を加えた圧力(12.55MPa)を超えていないことを確認した。
坑井掘削難易度	<ul style="list-style-type: none"> ●軟弱な第四系・鶴川層内での坑跡コントロールや水平面に近い掘削のため、掘削障害のリスクあり。
圧入後CO ₂ の移動 (シミュレーション結果)	<ul style="list-style-type: none"> ●(3年圧入後) 気相CO₂の拡がりは圧入井近傍で400m×600m程度、溶解CO₂は400m×600m程度(ベースケース)。 ●20年程度で、気相CO₂の拡がりに変化は見られなくなる。 ●1,000年後までは、周辺部での地層水へのCO₂の溶解が進み、CO₂飽和率減少が確認される。

3.2 貯留対象層周辺を取巻く環境等の評価

3.2.1 活断層分布および地震活動

(1) テクトニクス概要

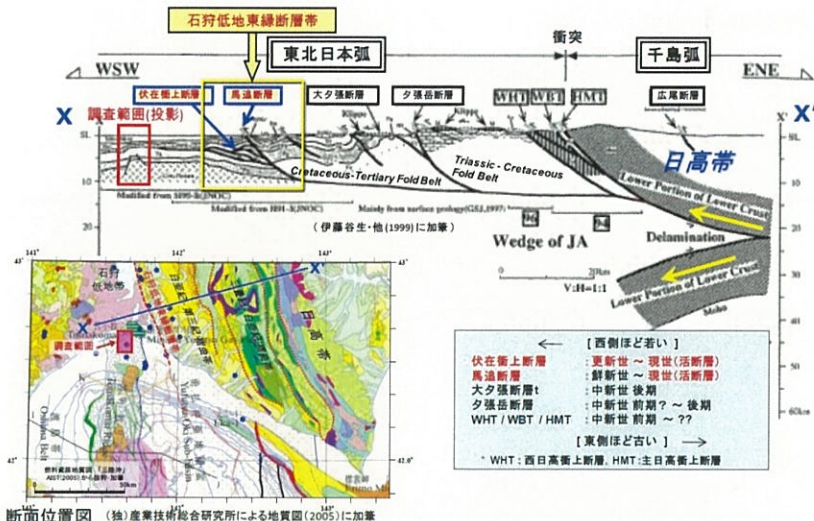
図3.2-1に苫小牧周辺のテクトニクスを示す地質概念図を示す。圧入想定域は、北海道の石狩一日高地域に属する（図3.2-1 左下の地質図）。地質構造的には、西方に向かつて前進する北北西—南南東方向の褶曲・衝上断層帶で特徴づけられる（図3.2-1 上段の図）。同褶曲・衝上断層帶は、東北日本弧と千島弧の衝突によって形成された日高衝突帯の西側の前縁部に形成されている¹⁾。

広域の地質構造的な特徴は、以下のとおり要約できる（図3.2-1）。

- ・西方に向かつて前進する複数の褶曲・衝上断層帶が発達する。これらは、東北日本弧と千島弧の衝突によって形成されたもので、中新世に始まったものである。
- ・褶曲・衝上断層帶にはいくつかの断層が認められ、地表に現れている最も西側の断層は馬追断層で代表される断層群である。
- ・既往の弹性波探査データから馬追断層の西側にはいくつかの伏在衝上断層が推定される。
- ・馬追断層およびその西側の伏在衝上断層は、南北に延びる活断層である「石狩低地東縁断層帶」を形成している。

【参考文献】

- 1) 伊藤他 (1999), 日高衝突帯におけるデラミネーション-ウェッジ構造. 月間地球, v. 21, n. 3, pp. 130-136.



(2) 北海道周辺の地殻応力分布

「C C S 実証事業の安全な実施にあたって」においては、CO₂貯留に際し地質面から検討すべき事項として、CO₂圧入地点付近における過去の地震活動が挙げられている。過去の地震活動の一環としては、圧入地点周辺の地殻応力状態や歪みの蓄積状況を事前に把握する必要があることから、国土地理院によるGPS観測点網（GEONET）による年間平均変位速度ベクトルと、地殻応力データベースであるWorld Stress Map²⁾ (WSM) を利用して応力分布について調査した。

図 3.2-2 に、WSMによる応力データ分布および札幌観測点を固定した変位速度図を示す。これらの図に現れた応力分布を反映すると考えられる特徴を列記する。

北海道南東部-日高山脈南部は、太平洋プレートの沈み込みによる千島弧の東北日本弧への衝突が生じている地域である。地殻変位速度はこの衝突と整合的な西から西北西への変位が顕著であり、南東ほどその変位速度が大きく、年間 20mm 以上に達している。応力データ分布図には陸域のデータが少ないが日高山脈南端付近に逆断層型の東西圧縮を示すデータが存在し、地動変位速度ベクトルと調和的である。

石狩低地帯内に存在する札幌観測点を固定点とした場合、北海道北部地域から苫小牧-室蘭に至る地域は相対的な変位は小さい。

【参考文献】

- 2) World Stress Map (URL <http://dc-app3-14.gfz-potsdam.de/>)

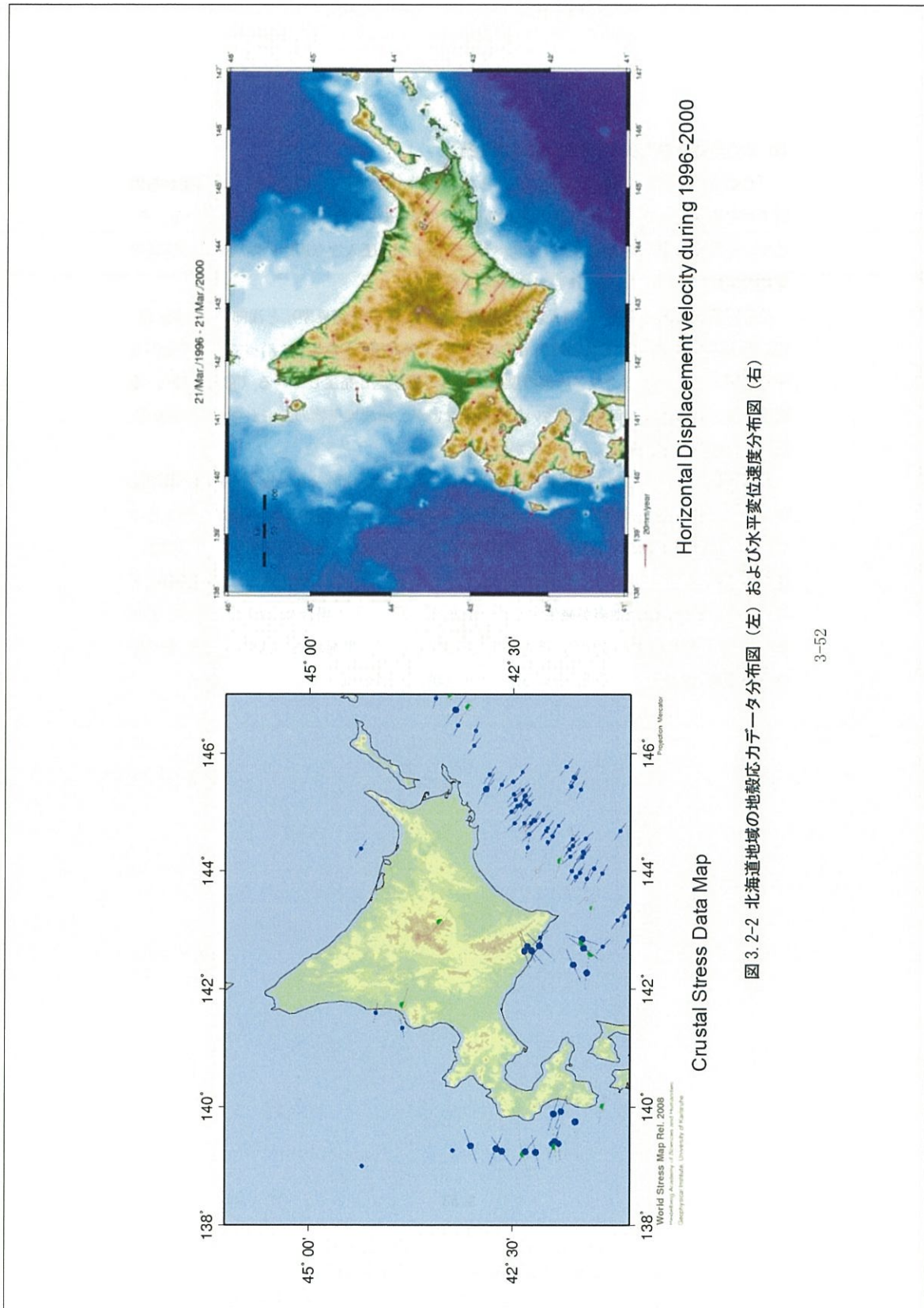


図 3.2-2 北海道地域の地殻応力データ分布図（左）および水平変位速度分布図（右）

(3) 北海道周辺および苫小牧周辺の地震活動

「CCS実証事業の安全な実施にあたって」においては、CO₂貯留に際し地質面から検討すべき事項として、CO₂圧入地点付近における過去の地震活動が挙げられている。そこで、過去や現在の地震活動状況を調べることにより、圧入地点周辺の断層運動の履歴や地殻の活動度を知ることを目的として調査を行った。

北海道周辺には、深部（100km以深）の海溝型（プレート境界型）と浅部（20~40km以浅）の内陸地震の2タイプの地震活動があり、千島海溝・日本海溝に沿って、津波を伴うマグニチュード（M）8クラスの海溝型巨大地震が繰り返し発生している（図3.2-3）。北海道では、古文書に記録された古い地震は少ないが、津波堆積物の調査から、400~500年周期で巨大津波を経験してきたことが分かっている。

苫小牧周辺における現在の地震活動を図3.2-4に示す。震源分布断面図からは、地下深部（100km以深）の海溝型（プレート境界型）と浅部（20~40km以浅）の内陸地震の2タイプの地震活動があることが分かる。平面分布図から、圧入想定地点周辺の地震活動度は、他の地域の活動度とほとんど差異はないことがわかる。苫小牧市南西側には、樽前山などの活火山があり、群発地震が発生することがある。ほとんどの場合M5以下であるが、まれにM5より大きくなり、局所的に被害が生じることがある。群発地震の活動期間は、多くは1~3ヶ月の比較的短い時間で収まるが、1年を越えた例も知られている。

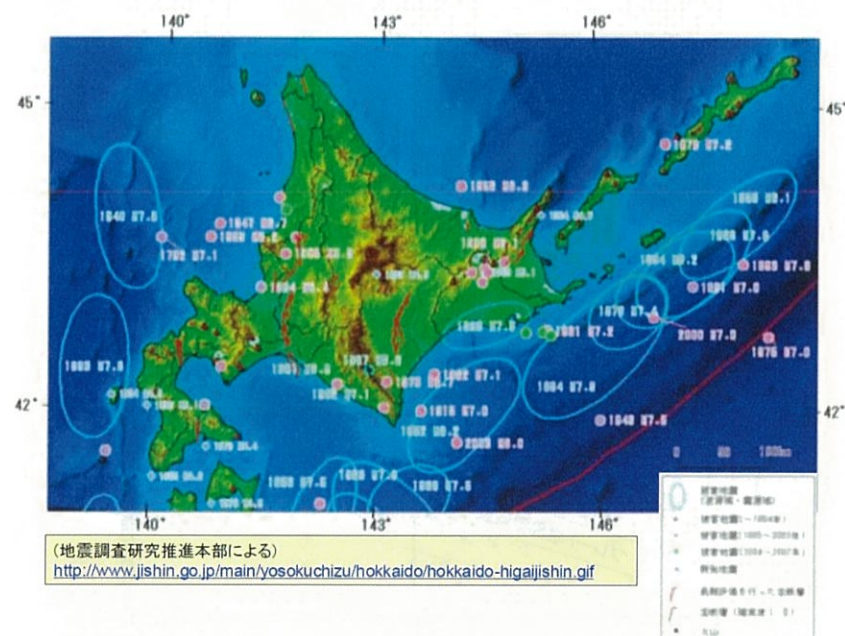


図 3.2-3 北海道周辺の地震活動

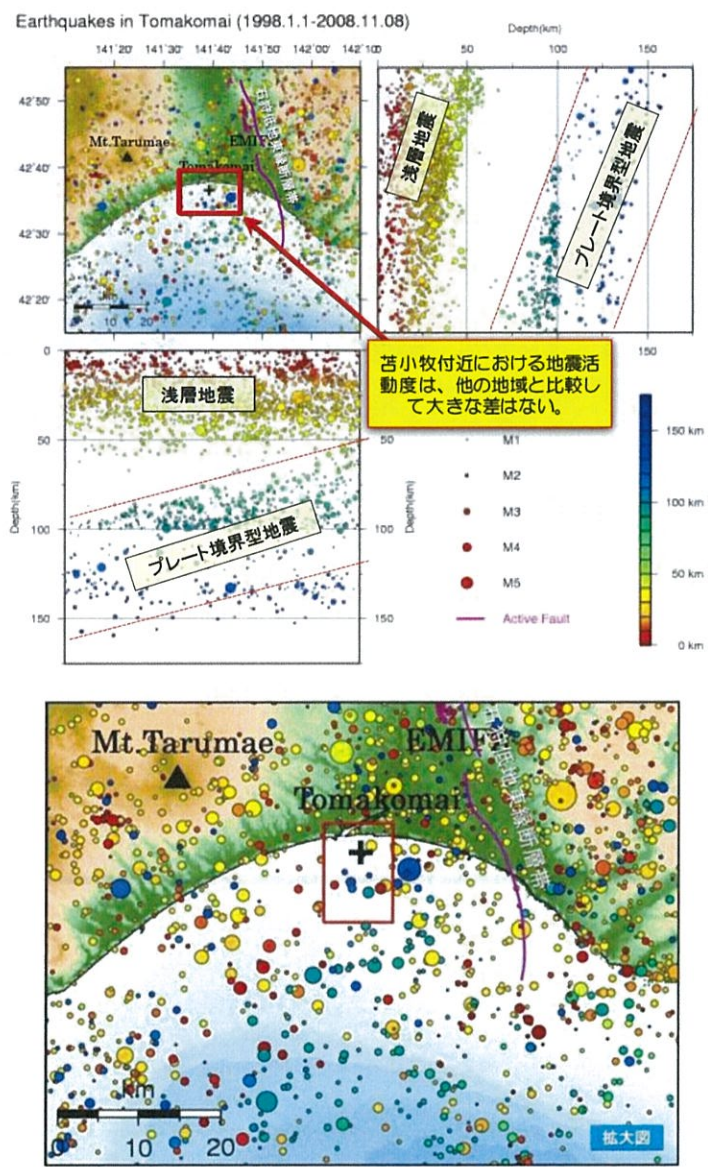


図 3.2-4 苫小牧周辺の最近の地震活動（1998 年～2008 年、M>1）
(赤枠内は調査範囲)

(4) 苫小牧周辺の活断層

ここでは、活断層とは、第四紀後期更新世（約13万年前）以降現在まで活動的である断層、と定義する。

北海道地方の活断層のほとんどは逆断層であり、北海道の中央部がほぼ東西方向に圧縮されていることを示している。地殻変動観測からもおおむね西北西—東南東方向の圧縮場にあることがわかる（図3.2-2）。

苫小牧周辺の活断層としては、石狩平野の東縁に沿って南北方向に走っている「石狩低地東縁断層帯」がある（図3.2-1）。図3.2-5は、地震調査研究推進本部による「石狩低地東縁断層帯」の分布図である。平成22年8月に改訂されて追加された南部延長部も含まれている。図中の南部延長部は、断層そのものではなく断層活動を伴う変形を表す背斜構造軸として表現されている。震度予測シミュレーションで用いられている断層は、背斜軸の10~20km東方に想定されており、想定压入地点からは20km以上あり、十分離れていると言える。



図3.2-5 石狩低地東縁断層帯

(5) 三次元弾性波探査断面図に見られる断層

本地域で実施された三次元弾性波探査の断面図には、断層と判断される不連続面が確認されている。図3.2-6はその一例で、滝ノ上層の想定貯留地点を横切るLine IL-145の東西断面図である。断面図上のはば中央に認められる断層は、ほぼ南北方向の走向で、滝ノ

上層から平取+軽舞層までを切っている。本断層は萌別層を切っておらず、活断層ではないと推定する。本断層は3Dデータの解析による振老層の分布形状から中新世の中期以前の引張応力場で形成された正断層と推定する。その後、荷菜層の堆積時に西側が下がるような活動があったと考えられ、その後、萌別層堆積時以降は活動を停止した。そのため、現在の圧縮応力場では再活動の可能性は低いと判断する。

また、地層水の塩分濃度分布から求めた水理地質構造から、本断層は不透水性と推定され、圧力の伝播と地層水の動きが断層にあたえる影響は小さいと判断する。

以上により、本断層は滻ノ上層T1部層へのCO₂の圧入に対しては安定していると判断する。

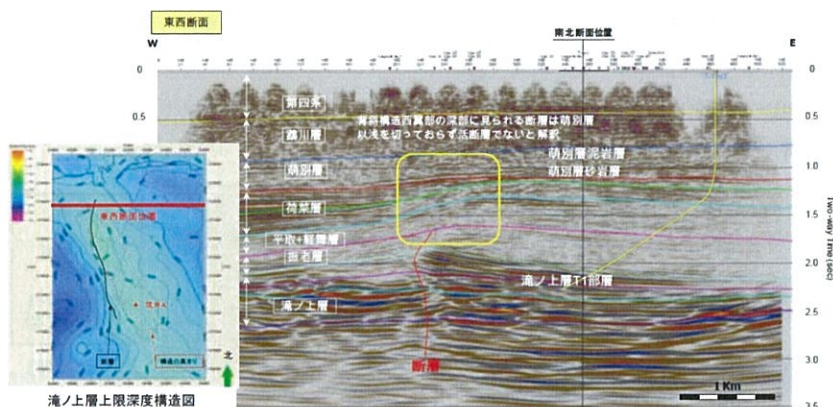


図 3.2-6 三次元弾性波探査断面図上でみられる断層例

(6) 苦小牧地点で予想される地震

苦小牧市地域防災計画においては、苦小牧沖の地震（プレート内の地震、M7.8、1974年苦小牧沖地震の震源）、馬追断層の地震（内陸地震、M6.8）、苦小牧直下の地震（内陸地震、M6.8、市街地直下の震源）を想定し、それらの震度の予測をしている。最も強い揺れの地震が予想されているのは苦小牧直下を震源とするもので、実証試験の調査地域の沿岸域（陸上）では震度5強から6弱が想定されている（図3.2-7）。

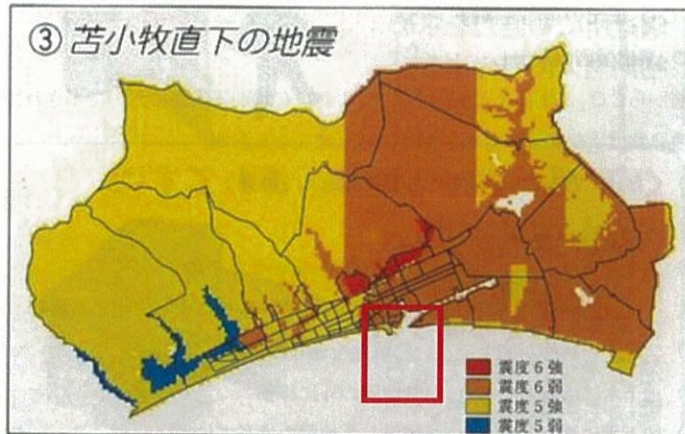


図 3.2-7 苫小牧直下を震源とする地震の震度予測（苫小牧市地域防災計画）
(赤枠内は調査範囲)

馬追断層を含む「石狩低地東縁断層帯（南部）」（図 3.2-5）については、地震調査研究推進本部によれば、54km 以上が一つの区間として一度に活動した場合、その地震の規模は、M7.7 程度以上になると推定されている。図 3.2-8 は、この地震が発生した場合に予測される断層帯の周辺地域の震度分布を示しており、苫小牧市から勇払平野にかけては震度 6 強（赤色）が、実証試験の調査地域の沿岸域（陸上）では震度 6 弱（オレンジ色）が予測されている。

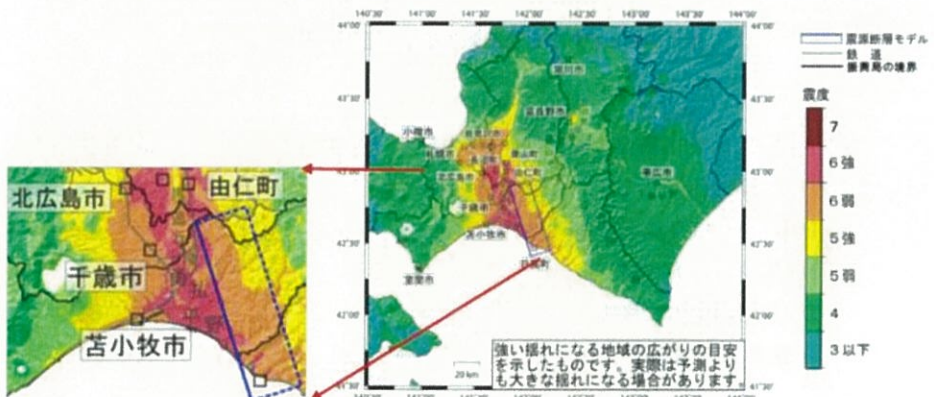


図 3.2-8 石狩低地東縁断層帯南部の地震による予測震度分布
(地震調査研究推進本部、2010 年 8 月)

3.2.2 CO₂漏出の可能性検討

(1) CO₂漏出要因の洗出し

貯留層からCO₂が漏出する要因として、IPCC特別報告書において示されている潜在的な漏洩経路は下記の通り分類されている（図3.2-9参照）。

- (A) CO₂のガス圧が遮蔽層の毛管圧を超えて移動
- (B) 断層を通じてCO₂が移動
- (C) キャップロックの局所的な不連続部分を通じた移動
- (D) CO₂貯留層圧の増加および断層の浸透率の増加によって生じる移動
- (E) プラグの状態が完全でない廃坑井を通じた移動
- (F) 地下水に溶解したCO₂が貯留層の外に移動
- (G) 地下水に溶解したCO₂が傾斜した地層を通じて地表に移動

Potential leakage routes and remediation techniques for CO₂ injected into saline formations

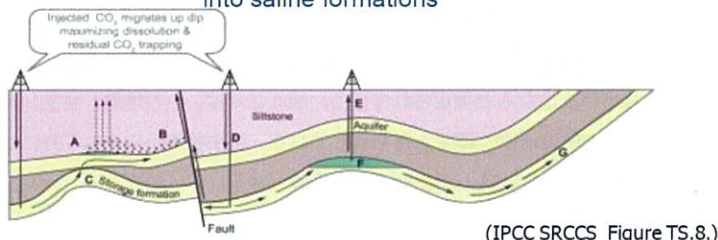


図3.2-9 IPCC特別報告書による潜在的な漏洩経路

苫小牧地点における貯留層総合評価の検討結果により、貯留後のCO₂が貯留対象層から漏出する要因の可能性として、以下の漏出経路が想定される。

- 1) 遮蔽層の毛管圧を超えて移動
- 2) 断層を通じた移動
- 3) 廃坑井を通じた移動
- 4) 圧入井等の設置予定の構造物に沿った移動

(2) CO₂漏出要因に関する検討のまとめ

苫小牧地点における上記の想定される漏出経路(1)～(4)について検討した結果のまとめは、以下の通りである。

1) 遮蔽層の毛管圧を超えて移動

滝ノ上層T1部層および萌別層砂岩層の圧入圧力は、それらの遮蔽層の毛管圧(スレショルド圧力)を超えることはなく、CO₂は遮蔽層には浸透しない(滝ノ上層T1部層では、スレショルド圧力が十分に高い。萌別層砂岩層では、滝ノ上層T1部層に比べればスレショルド圧力が低いものの、シミュレーションの結果、CO₂は遮蔽層に浸透せず、良好な遮蔽性能が期待される)。

2) 断層を通じた移動

シミュレーションによるCO₂長期挙動予測の結果、圧入後200年程度でCO₂の拡がりに変化は見られなくなり、1,000年を経てもCO₂は断層に到達しないことから、断層はCO₂の漏出要因にならないと考える。

3) 廃坑井を通じた移動

シミュレーションによるCO₂長期挙動予測の結果、圧入後200年程度でCO₂の拡がりに変化は見られなくなり、1,000年を経てもCO₂は廃坑井に到達しないことから、廃坑井はCO₂の漏出要因にならないと考える。

4) 圧入井等の設置予定の構造物に沿った移動

圧入井等の構造物の設計・建設では、CO₂が接触する鋼材やセメント等を耐CO₂仕様にする等の対策を施すことで、これら構造物に起因したCO₂の移動を防止する。

以上から、圧入井等の構造物を耐CO₂仕様にすることにより、基本的には、CO₂の漏出は生じないものと考える。

3.3 「CCS実証事業の安全な実施にあたって」への対応

「CCS実証事業の安全な実施にあたって」において、「CO₂圧入開始前までに取得するデータ」で挙げられているデータについての確認状況についてまとめた。表3.3-1に滝ノ上層T1部層の確認状況を、表3.3.-2に萌別層砂岩層の確認状況を示す。

表 3.3-1 「CO₂圧入開始前までに取得するデータ」における「上層T1部層のデータ確認状況

取得するデータ	取得方法	確認状況
該層により得られる地層の各種データ (岩相、流体飽和率等の把握、浸透性の推定)	物理検層	確認済み
層序・岩相	泥水検層	確認済み
貯留層およびキャップロックを含む岩石試物組成	コア分析 掘り屑分析	確認済み
貯留層およびキャップロックを含む上位層の孔隙率	物理検層 コア試験	確認済み
貯留層およびキャップロックを含む上位層の浸透率	コア試験	確認済み
貯留層の毛管圧	コア試験	確認済み
キャップロックのスレショルド圧力	コア試験	確認済み
貯留層破壊圧	コア試験 リーコオフテスト	確認済み
キャップロックの破壊圧	コア試験 リーコオフテスト	確認済み
温度・圧力	掘削時の測定、換算 温度・圧力測定(温度勾配、圧力勾配を含む)	確認済み
地層水の化学分析	揚水	圧入井掘削時に採取